

Journal of Natural Environmental Hazards, Vol.13, Issue 39, March 2024

## Investigating the concentration of heavy elements in dust and evaluating human health risk (case study: Birjand city, South Khorasan province)

**Mohsen farahi<sup>1</sup>, Ali Mohammadian Behbahani<sup>2\*</sup>, Hamid Reza Asgari<sup>3</sup>, Reza dahmardeh behrooz<sup>4</sup>, Dimitris .G.Kaskaoutis<sup>5</sup>**

1. Phd. student of desert management and control, Faculty of Pasture and Watershed Management, Gorgan, Iran

2. Corresponding Author, Assistant Professor, Department of Desert Management, Faculty of Pasture and Watershed Management, Gorgan, Iran

3. Associate Professo Department of Desert Management, Faculty of Pasture and Watershed Management, Gorgan, Iran

4. Assistant Professor, Department of Environment, Faculty of Natural Resources, Zabol, Iran

5. Assistant Professor, Department of Chemical Engineering, University of Western Macedonia, Kozani, Greece

---

### Article Info

### ABSTRACT

**Article type:**

Research Article

**Article history:**

Received: 22 May 2023

Revised: 24 September 2023

Accepted: 13 October 2023

**Keywords:**

Heavy metals, health risk, carcinogenic risk, dust, Birjand.

Urban dust is one of the indicators of heavy metal pollution in the living environment. Heavy metals in contaminated soils are considered a challenge to the environment and cause irreparable effects on the bodies of living organisms. Therefore, it is very important to know the pollutants and how they are transported, their performance, and accessibility. Because their effects on the health of humans and other living beings are significant. Therefore, the present study was conducted to investigate the effect of heavy metals (including Pb, Zn, Cr, and As) in the dust of Birjand City on human health. For this purpose, 50 dust samples were collected from Birjand city and analyzed using inductively coupled plasma spectroscopy (ICP-OES). According to the research results, the average concentration of studied metals was estimated as Pb (16.93), Zn (5.55), Cr (1.04), and As (6.11)  $\mu\text{g}/\text{m}^3$ . Average RI values, Cr and Zn metals have a low ecological risk potential, lead has a medium risk, and As has a high ecological risk potential. The non-carcinogenic risk of heavy metals in Birjand city is without risk. However, the non-carcinogenic risk for two elements, Cr and As, is greater for children than for adults. CR values are higher in children than in adults. This amount is in children for Cr ( $5.58 \times 10^{-4}$ ), As ( $5.98 \times 10^{-5}$ ), and lead ( $9.09 \times 10^{-6}$ ) and in adults for Cr ( $1.18 \times 10^{-4}$ ), and As ( $1.27 \times 10^{-5}$ ), which is more than  $1 \times 10^{-6}$ . There is a risk of cancer in children under controlled conditions. However, the cancer risk caused by this metal in dust for adults can be ignored.

---

**Cite this article:** Farahi, M., Mohammadian Behbahani, A., Asgari, H. R., Dahmardeh Behrooz, R., & G. Kaskaoutis, D. (2023). Investigating the concentration of heavy elements in dust and evaluating human health risk (case study: Birjand city, South Khorasan province). Journal of Natural Environmental Hazards, 13(39), 93-108.  
DOI: 10.22111/jneh.2023.45720.1961



© Ali Mohammadian Behbahani\*.

DOI: 10.22111/jneh.2023.45720.1961

Publisher: University of Sistan and Baluchestan

---

\* Corresponding Author Email: ali.mohammadian@gau.ac.ir

مجله علمی پژوهشی مخارطات محیط طبیعی، دوره ۱۳، شماره ۳۹، فروردین ۱۴۰۳

## بررسی غلظت عناصر سنگین موجود در گردوغبار و ارزیابی ریسک سلامت انسانی (مطالعه موردی: شهرستان بیرجند، استان خراسان جنوبی)

محسن فراهی<sup>۱</sup>، علی محمدیان بهبهانی<sup>۲\*</sup>، حمیدرضا عسگری<sup>۳</sup>، رضا دهمردہ بهروز<sup>۴</sup>، دیمیتریس کاسکاوتبیس<sup>۵</sup>

۱. دانشجوی دکتری مدیریت و کنترل بیابان، دانشکده مرتع و آبخیزداری، گرگان
۲. استادیار گروه مدیریت مناطق بیابانی، دانشکده مرتع و آبخیزداری، گرگان (نویسنده مسئول)
۳. دانشیار گروه مدیریت مناطق بیابانی، دانشکده مرتع و آبخیزداری، گرگان
۴. استادیار گروه محیط زیست، دانشکده منابع طبیعی، زابل
۵. استادیار، گروه مهندسی شیمی، دانشگاه مقدونیه غربی، کوزانی، یونان

### اطلاعات مقاله

نوع مقاله: مقاله پژوهشی

گردوغبار شهری، یکی از شاخص‌های آلودگی به فلزات سنگین در محیط زندگی است. حضور فلزات سنگین در خاک‌های آلوده چالشی برای محیط‌زیست محسوب می‌شود و با ورود به بدن موجودات زنده، می‌تواند عوارض جبران‌ناپذیری ایجاد کند. بنابراین شناخت مواد آلاینده و چگونگی انتقال، عملکرد و دسترسی‌پذیری آن‌ها از اهمیت بالایی برخوردار بوده و تأثیرات آن‌ها بر سلامت انسان و دیگر جانداران به وضوح قابل توجه است. پس این مطالعه به منظور بررسی تأثیر فلزات سنگین (شامل سرب (Pb)، روی (Zn)، کروم (Cr) و آرسنیک (As)) در گردوغبار شهر بیرجند بر سلامت شهروندان انجام شده است. برای دستیابی به این هدف، ۵۰ نمونه گردوغبار از مرکز شهر بیرجند جمع‌آوری شدند و با استفاده از روش طیفسنجی جفت‌شده پلاسمای القایی (ICP-OES) تحلیل شدند. با توجه به نتایج پژوهش، میانگین غلظت فلزات مورد مطالعه به ترتیب (16/0.93، Pb (55/5)، Zn (55/5)، Cr (04/1) و As (11/6)  $\mu\text{g}/\text{m}^3$ ) براورد گردید. بر اساس میانگین مقادیر RI، فلزات کروم و روی دارای پتانسیل ریسک اکولوژیکی کم هستند و سرب ریسک متوسط و آرسنیک دارای پتانسیل ریسک اکولوژیکی زیاد است. خطر غیرسرطان‌زاوی فلزات سنگین در شهر بیرجند بدون ریسک است؛ اما خطر غیرسرطان‌زاوی برای دو عنصر کروم و آرسنیک برای کودکان بیشتر از بزرگسالان است. مقادیر CR در کودکان بیشتر از بزرگسالان است. این مقدار در کودکان برای کروم ( $4 \times 10^{-4}$ )/۵، آرسنیک ( $5 \times 10^{-5}$ )/۵ و سرب ( $6 \times 10^{-6}$ )/۹ و در بزرگسالان کروم ( $4 \times 10^{-4}$ )/۱ و آرسنیک ( $5 \times 10^{-5}$ )/۱ می‌باشد که بیشتر از  $1 \times 10^{-6}$  می‌باشد. خطرپذیری سلطان برای کودکان تحت شرایط کنترل وجود دارد؛ اما ریسک سلطان ناشی از این فلز در گردوغبار برای بزرگسالان می‌تواند نادیده گرفته شود.

تاریخ دریافت: ۱۴۰۲/۰۳/۰۱

تاریخ ویرایش: ۱۴۰۲/۰۷/۰۲

تاریخ پذیرش: ۱۴۰۲/۰۷/۲۱

واژه‌های کلیدی:

فلزات سنگین، ریسک سلامت، خطر سلطان‌زاوی، گردوغبار، بیرجند.

استناد: فراهی، محسن، محمدیان بهبهانی، علی، عسگری، حمیدرضا، دهمردہ بهروز، رضا، کاسکاوتبیس، دیمیتریس. (۱۴۰۲). بررسی غلظت عناصر سنگین موجود در گردوغبار و ارزیابی ریسک سلامت انسانی (مطالعه موردی: شهرستان بیرجند، استان خراسان جنوبی). مخارطات محیط طبیعی، ۳۹(۱۳)، ۹۳-۱۰۸.

DOI: 10.22111/jneh.2023.45720.1961

ناشر: دانشگاه سیستان و بلوچستان © محسن فراهی، علی محمدیان بهبهانی، حمیدرضا عسگری، رضا دهمردہ بهروز، دیمیتریس کاسکاوتبیس.

## مقدمه

گردوغبار شهری، یکی از شاخص‌های آلودگی به فلزات سنگین در محیط زندگی است. با توجه به انتشار آلاینده‌های مختلف در محیط‌زیست و تأثیرات آن‌ها بر سلامت انسان و دیگر جانداران، شناخت مواد آلاینده، چگونگی انتقال آن‌ها، عملکرد و دسترس پذیری آن‌ها مورد توجه قرار گرفته است. یکی از چالش‌های محیط‌زیست، وجود فلزات سنگین در خاک‌های آلود است که می‌تواند با ورود به بدن موجودات زنده، عوارض جبران‌ناپذیری ایجاد کند (بهروش و همکاران، ۱۳۹۴). افزایش فعالیت‌های صنعتی، تعداد وسایل نقلیه در جاده‌ها و جمعیت در شهرهای بزرگ باعث آلودگی هوا در محیط شهری می‌شود و درنهایت بر سلامت انسان تأثیر می‌گذارد. فلزات سنگین معمولاً در خاک فوقانی وجود دارند که می‌توانند از طریق بلعیدن، استنشاق و جذب پوستی وارد بدن ما شوند. به همین دلیل، مقدار بیش از حد فلزات سنگین می‌تواند حیات زیستی را تهدید کند (رحمان<sup>۱</sup> و همکاران، ۲۰۲۱). یکی از اثرات شایع فلزات سنگین، مسمومیت برای بدن و ایجاد اختلالات در رشد کودکان و اثرات بر مغز است. قرارگرفتن در معرض این فلزات برای مدت طولانی می‌تواند منجر به بروز مسمومیت مزمن در سطوح پایین شود که معمولاً بدون علامت است، اما باعث اختلالاتی در فرآیندهای سوخت‌وساز بدن می‌شود (بائی<sup>۲</sup> و همکاران، ۲۰۲۳). غلظت بالای فلزات سنگین در محیط‌زیست، باعث اثرات منفی بسیار زیادی بر سلامت انسان می‌شود که بیشتر از طریق هضم، تنفس و جذب پوسیدگی صورت می‌گیرد. کودکان نسبت به بزرگ‌سالان مقدار بیشتری از این فلزات را جذب می‌کنند و این باعث ایجاد اختلال در رفتارهای متابولیکی آن‌ها می‌شود (بیست<sup>۳</sup> و چودهاری<sup>۴</sup>، ۲۰۲۲). مصرف بیش از حد فلزات سنگین، منجر به بروز مسمومیت‌های حاد و مزمن مانند آسیب به سیستم عصبی مرکزی، ترکیب خون، ریه‌ها، کلیه‌ها، کبد و حتی مرگ می‌شود (بودی<sup>۵</sup> و همکاران، ۲۰۲۲). بلعیدن، تنفس و تماس با پوست، از مهم‌ترین راه‌هایی هستند که در انسان با عناصر سنگین در معرض قرار می‌گیرد (لفتا<sup>۶</sup> و همکاران، ۲۰۲۲). بررسی منابع گردوغبار در شهرهایی که در مسیر باد قرار دارند، می‌تواند اطلاعات حیاتی برای سیاست‌گذاران دولتی در زمینه طوفان‌های گردوغبار و ارزیابی تأثیرات آن‌ها فراهم کند. برنامه‌های مقابله با خطرات در مناطق خشک باید شامل سه بخش اصلی شامل نظارت و هشدار زودهنگام، ارزیابی ریسک و استراتژی‌های پاسخ باشد (ماسیاس-کورال<sup>۷</sup> و همکاران، ۲۰۲۰). با توجه به ترکیب پیچیده ذرات معلق در گردوغبار، تعیین اینکه کدام خصوصیت از آن‌ها باعث ایجاد چه نوع اثرات منفی بر سلامت انسان‌ها می‌شود، بسیار دشوار است و اطلاعات کافی و جامع در این زمینه وجود ندارد. با ارتباط دادن خصوصیات و ترکیبات ذرات معلق با اثرات منفی بر سلامت، می‌توان این اثرات منفی را به منابع آلوده‌کننده نسبت داد که این اطلاعات برای تعیین استراتژی‌های کنترل و کاهش ذرات معلق بسیار ارزشمند هستند. مطالعات مختلفی در زمینه عناصر سنگین و گردوغبار و تأثیر آن‌ها بر سلامت انسان و زندگی شهری صورت گرفته است. به عنوان مثال، زراسوندی و همکاران (۱۳۹۳)، به بررسی غلظت فلزات سنگین و سطح آلودگی آن‌ها در گردوغبار خیابان‌های شهری پرداختند و نتایج فاکتور آلودگی آنان نشان داد که فلزات سرب، مس، روی و وانادیم آلودگی بالا و آهن، کرم، نیکل و منیزیم

<sup>1</sup> Rahman

<sup>2</sup> Bai

<sup>3</sup> Bist

<sup>4</sup> Choudhary

<sup>5</sup> Budi

<sup>6</sup> Lafta

<sup>7</sup> Macias-Corral

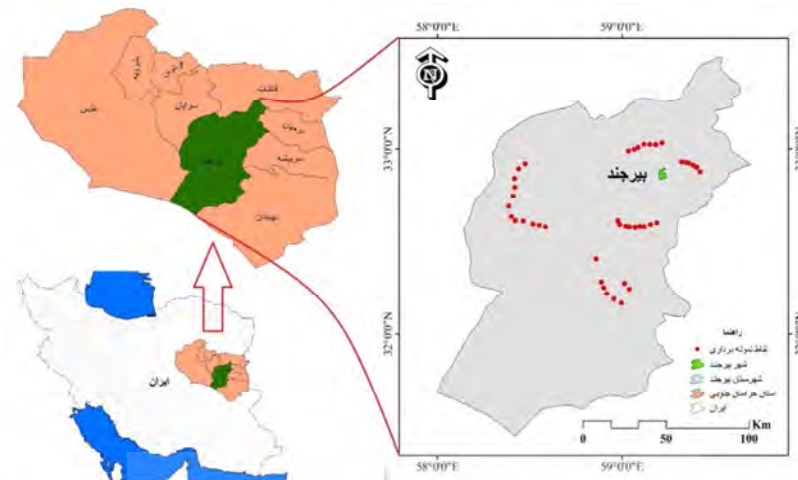
آلودگی متوسطی در شهر اهواز داشته و منشا عمده آلاینده‌ها، صنایع و ترافیک بالای شهری می‌باشد. راست منش و همکاران (۱۳۹۵)، به بررسی غنی‌شدگی، سمناکی و خطر بوم شناختی فلزات سنگین در رسوبات سطحی رودخانه بهمنشیر آبادان پرداختند و بیان نمودند که فلزات نیکل و کروم خطر کم و آلودگی متوسط داشته، همچنین فلزات مس، روی، سرب و کروم دارای منشا انسانی، آرسنیک منشا زمین‌زد و نیکل دارای هر دو منشا انسانی و زمین‌زد در منطقه می‌باشد.

قنواتی (۱۳۹۷)، به ارزیابی خطر فلزات سنگین بر سلامت انسانی در گردوغبار خیابانی شهر آبادان پرداخت و نتایج وی بر اساس مقدار میانگین شاخص ریسک نشان داد که غلظت عناصر سنگین در گردوغبار شهر آبادان متوسط بوده و خطر تجمعی غیر سلطان‌زایی کلیه فلزات سنگین برای کودکان بیشتر از بزرگسالان است و فلز کروم دارای بیشترین خطر و فلز سرب کمترین خطر سلطان‌زایی را دارد. همچنین معمارزاده و امامی (۱۴۰۱)، به پایش زمانی رسوبات بادی و بعضی از عناصر سنگین در رسوبات معلق شهرستان طبس پرداختند و نتایج آن‌ها نشان داد که از مقایسه میزان گلباد و رسوبات بادی، می‌توان نتیجه گرفت که گلباد این شهرستان با رسوبات بادی نسبتاً همخوانی دارد. تغییرات زمانی در غلظت عناصر سنگین نشان می‌دهد که بیشترین میزان این عناصر در رسوبات بادی شهرستان در ماه فروردین و در جهت غرب (آهن) و شمال غرب (منگنز) قرار دارد. شهرستان بیرونی با داشتن عرصه‌های بیابانی، فقر رطوبت، کاهش پوشش گیاهی، خشکسالی، بادهای ۱۲۰ روزه و وجود ۲۸ کانون بحرانی، از مهم‌ترین عوامل داخلی و خارجی وقوع ریزگردها در این منطقه است (موسوی و همکاران، ۱۳۹۶). بین سال‌های ۱۳۹۳ تا ۱۳۹۷ در بیرونی، در ۳۴ روز غلظت ذرات معلق بیشتر از استاندارد EPA بوده و در ۷۰ درصد این روزها هوا غبارآلود (گردوغبار معلق یا بالا آمدن گردوغبار) بوده است (ابراهیمی و همکاران، ۲۰۲۲). ریزگردهای بسیاری در شهر بیرونی وجود دلیل وجود عرصه‌های بیابانی و فقر رطوبت، کاهش پوشش گیاهی، خشکسالی و وجود کانون‌های بحرانی، وقوع می‌کنند. با توجه به اینکه تاکنون در شهر بیرونی مطالعه‌ای با هدف بررسی چهار فلز سنگین آرسنیک، کروم، سرب و روی که از عوامل اصلی سلطان‌زایی ذرات با غلظت کمتر از ۱۰ میکرون هستند، صورت نگرفته است. با توجه به اهمیت موضوع، هدف از این پژوهش، تعیین غلظت فلزات سنگین یادشده در گردوغبار شهر بیرونی و ارزیابی خطر آن‌ها برای سلامت شهروندان با استفاده از شاخص‌های محیط زیستی است.

## داده‌ها و روش‌ها

### منطقه مورد مطالعه:

شهرستان بیرونی با داشتن طول جغرافیایی ۵۷ تا ۶۱ درجه شرقی، عرض جغرافیایی ۳۰ تا ۳۵ درجه شمالی و ارتفاع ۱۴۷۰ متر از سطح دریا و جمعیتی بالغ بر ۳۰۰ هزار نفر، در شرق ایران واقع شده و از جنوب و جنوب‌غربی و شرق به کویر لوت و از شمال و غرب به کوهستانی محدود می‌شود (احمدی و همکاران، ۱۳۹۴). این شهرستان هم‌مرز با استان‌های خراسان شمالی، یزد، کرمان، سیستان و بلوچستان و کشور افغانستان است. بیرونی دارای آب و هوای نیمه‌بیابانی با زمستان‌های سرد و تابستان‌های گرم و خشک است. بارش سالانه در این شهرستان ۱۵۲ میلی‌متر و میانگین کمینه و بیشینه دمای سالیانه آن به ترتیب ۸ و ۲۴ درجه سانتی‌گراد است.



شکل ۱: موقعیت منطقه مورد مطالعه بر روی نقشه‌های استان خراسان جنوبی و ایران

#### نمونهبرداری و تجزیه و تحلیل نمونه‌ها:

در این مطالعه، برای بررسی غلظت فلزات سنگین در گردوبغار شهر بیرجند، از روش‌های استاندارد معتبر برای نمونهبرداری استفاده شد (هان<sup>۱</sup> و همکاران، ۲۰۲۳). برای مطالعه غلظت ذرات معلق فلزات سنگین در شهر بیرجند، مرکز شهر بهدلیل شرایط جغرافیایی و تمرکز جمعیت، به عنوان مکان نمونهبرداری انتخاب شد. در این پژوهش، ۶۰ نمونه در زمان رخداد طوفان‌ها و بادهای ۱۲۰ روزه، از اواخر اردیبهشت تا اواسط شهریور به عنوان زمان نمونهبرداری انتخاب شدند. بادهای ۱۲۰ روزه به عنوان یکی از مهم‌ترین عواملی هستند که باعث تجمع آلودگی در شهر بیرجند است. برای نمونهبرداری ذرات معلق از دستگاه‌های نمونهبردار TCR استفاده شد (شکل ۲). ورودی دستگاه، هد PM10 می‌باشد که قادر است ذرات PM10 را از سایر ذرات جدا نماید. ذرات جدا شده بروی فیلتر فایبرگلاس (اندازه قطر ۴۰ و ۲۵ میلی‌متر) با سرعت جریان استاندارد شده ۱۷ لیتر در دقیقه به مدت ۸ ساعت جمع‌آوری شدند. قبل از نمونهبرداری، فیلترها به مدت ۱۲ ساعت در دمای ۴۵° درجه سانتی‌گراد قرار گرفتند تا کلیه ترکیبات آلی موجود در فیلتر حذف شوند. سپس، فیلترها در دیسکاتور نگهداری و قبل از نمونهبرداری وزن شده و در فویل الومینیومی قرار گرفته و به محل نمونهبرداری منتقل شدند (وانگ<sup>۲</sup> و همکاران، ۲۰۲۱).

#### نمونهبرداری خاک:

در این پژوهش، با استفاده از روش شبکه‌ای، کانون‌های فرسایش بادی شناسایی و شبکه‌بندی شد. در هر شبکه نمونهبرداری به صورت تصادفی از خاک به فاصله دویست متری در جهات مختلف انجام گرفت. به طور کلی، در شهرستان بیرجند ۴۴ نمونه خاک از مناطقی که حساس به فرسایش و احتمالاً منشأ گردوبغار می‌باشند، جمع‌آوری و جهت آنالیز و تعیین ترکیب عناصر شیمیایی نمونه‌خاک به آزمایشگاه انتقال داده شدند. نمونه‌های خاک از سطح بالایی خاک به ارتفاع ۵ سانتی‌متر توسط بیلچه یا بورس به مساحت  $30 \text{ cm}^2$  برداشته شده و با استفاده از کیسه‌های

<sup>1</sup> Han

<sup>2</sup> Yarmoradi

<sup>3</sup> Wang

پلاستیکی جهت آنالیز به آزمایشگاه منتقل شدند (وانگ و همکاران، ۲۰۲۱). در هر شبکه حداقل سه نمونه از خاک برداشته شد و سپس با هم مخلوط شد تا نمونه کاملی از نقطه نمونه برداری به دست آید. نمونه های خاک از الکهای ۳۰، ۵۰، ۱۰۰، ۲۰۰ و ۴۰۰ عبور داده شد و حدود ۵ تا ۱۰ گرم خاک با قطر کمتر از  $38/5$  میکرومتر که مشابه اندازه ذرات TSP<sup>۱</sup> باشد، جمع آوری شد و چهار عنصر کروم، آرسنیک، سرب و روی در اسید توسط دستگاه ICP-OES<sup>۲</sup> آنالیز شدند (لئونگ<sup>۳</sup> و همکاران، ۲۰۰۸). در مرحله بعد، یک نمونه خاک که از الک ۴۰۰ عبور داده شده است، توسط دستگاه میکروسکوپ الکترونی (SEM<sup>۴</sup>) مورد آنالیز قرار گرفت و با تصاویر به دست آمده از ذرات معلق PM10 مقایسه شد. برای آماده سازی نمونه های خاک، حدود یک گرم از خاک های منطقه با فیلتر هایی که نمونه های خاک بر روی آن جمع آوری شده است، در محلول اسید نیتریک و اسید کلریدریک به نسبت ۱ به ۳ در دمای ۱۴۰ درجه سانتی گراد به مدت ۲ ساعت حل گردید و سپس محلول را با ۵۰ میلی لیتر آب دیانیوزه رقيق کرده و از کاغذ صافی واتمن عبور داده شدند. پس از این، نمونه ها با استفاده از دستگاه ICP-OES (پلاسمای جفت شده القایی - اسپکترومتر حریمی سری ICP-MS ۷۸۰۰) موجود در آزمایشگاه مرکزی دانشگاه سیستان و بلوچستان (شکل ۲) آنالیز شدند (لیو<sup>۵</sup> و همکاران، ۲۰۱۹).



شکل ۲: دستگاه های مورد استفاده، الف: دستگاه ICP-OES ب: دستگاه های نمونه بردار TCR

#### تحلیل آماری:

برای بررسی چگونگی توزیع آماری داده های موجود، خلاصه وضعیت پارامترهای آماری، مقایسه غلظت زمینه با میانگین فلزات سنگین، از روش های آماری استفاده شد. خصوصیت های دیگری همچون دامنه، میانگین، انحراف معیار و چولگی با استفاده از نرم افزار SPSS.20 و محاسبات شاخص ها با استفاده از نرم افزار Excel محاسبه شد.

1 Total suspended particulate

2 Inductivity Coupled Plasma- Optical Emission Spectrometry

3 Leung

4 Scanning Elecron Microscope

5 Liu

### ارزیابی تعیین سطح آلودگی فلزات سنگین:

در این پژوهش، برای ارزیابی و تعیین سطح آلودگی فلزات سنگین، از شاخص‌های محیط زیستی مختلفی استفاده شده است. این شاخص‌ها شامل: شاخص ریسک اکولوژیک (RI):

برای ارزیابی خطرات بالقوه محیط زیستی فلزات در گردوبغار، از شاخص پتانسیل ریسک اکولوژیک استفاده می‌شود (Miao و همکاران، ۲۰۲۲). در این پژوهش، برای محاسبه ریسک اکولوژیکی فلزات سنگین، از معادلات ۱ تا ۳ استفاده شد (رحمت<sup>۱</sup> و همکاران، ۲۰۲۲).

$$RI = \sum_{i=1}^n Er_i \quad (1)$$

$$Er_i = Tr_i \times C_f \quad (2)$$

$$C_f = C_s / C_n \quad (3)$$

در آن نماد  $RI$ ,  $C_s$ ,  $C_f$ ,  $Tr$ ,  $Er$  به ترتیب شاخص ریسک اکولوژیکی فلزات سنگین، ریسک اکولوژیک عنصر،  $Tr$  فاکتور سمیت<sup>۲</sup> که هاکانسون برای یک ماده تعریف می‌کند و مقدار آن را برای آرسنیک، سرب، کروم و روی به ترتیب ۱، ۵، ۲ و ۱ تعیین کرد، از نسبت غلظت فلزسنگین مورد نظر در نمونه به غلظت زمینه فلز موردنظر به دست می‌آید و حد مجاز غلظت فلز در نمونه و غلظت زمینه فلز سنگین مورد نظر می‌باشد. طبقه‌بندی  $RI$  و  $Er$  در جدول ۱ نشان داده شده است:

جدول ۱: طبقه‌بندی ریسک اکولوژیک

طبقه ریسک	مقدار شاخص	نوع شاخص
کم	$Er < 40$	Er
متوسط	$40 \leq Er < 80$	
قابل توجه	$80 \leq Er < 160$	
زیاد	$160 \leq Er < 320$	
خیلی زیاد	$Er \geq 320$	
کم	$RI < 150$	RI
متوسط	$150 \leq RI < 300$	
قابل توجه	$300 \leq RI < 600$	
زیاد	$RI \geq 600$	

### ارزیابی خطر سلطان‌زا و غیر سلطان‌زا

برای ارزیابی خطرات فلزات سنگین، فرایندی چند مرحله‌ای انجام می‌شود که شامل دو بخش ارزیابی خطرات سلطان‌زا و غیر سلطان‌زا است. این ارزیابی بر اساس روش ارزیابی خطر بهداشتی که توسط سازمان حفاظت محیط‌زیست آمریکا (USEPA) ارائه شده است، صورت می‌گیرد (کینگ<sup>۳</sup> و همکاران، ۲۰۱۵). در این روش، برای بررسی هر دو نوع خطرات سلطان‌زا و غیر سلطان‌زا، قرارگیری انسان در معرض فلزات از سه مسیر بلع، تنفس و

<sup>1</sup> Rahmat

<sup>2</sup>Toxic factor

<sup>3</sup> Qing

جذب از پوست مدنظر قرار می‌گیرد و مقادیر جذب روزانه فلزات در هر یک از مسیرها با استفاده از معادلات ۴ تا ۶ محاسبه می‌شود.

$$\text{Intake}_{ing} = \frac{C \times \text{IngR} \times \text{EF} \times \text{ED}}{\text{BW} \times \text{AT}} \times 10^{-6} \quad (4)$$

$$\text{Intake}_{inh} = \frac{C \times \text{InhR} \times \text{EF} \times \text{ED}}{\text{PEF} \times \text{BW} \times \text{AT}} \quad (5)$$

$$\text{Intake}_{dermal} = \frac{C \times \text{SA} \times \text{SAF} \times \text{ABF}_{dermal} \times \text{EF} \times \text{ED}}{\text{BW} \times \text{AT}} \times 10^{-6} \quad (6)$$

مقادیر  $\text{Intake}_{dermal}$ ,  $\text{Intake}_{inh}$  و  $\text{Intake}_{ing}$  به ترتیب نشان‌دهنده میانگین جذب روزانه فلزات (mg/kg.day) از طریق جذب پوست، تنفس و بلع است.

C: نشان‌دهنده غلظت فلزات در گردوغبار (mg/kg)

IngR: میزان نفس کشیده شده از گردوغبار (به مترمکعب بر روز) (day/year)

EF: نشان‌دهنده فراوانی قرارگیری در معرض فلزات (year)

ED: نشان‌دهنده مدت قرارگیری در معرض فلزات (year)

BW: نشان‌دهنده وزن بدن فرد قرار گرفته در معرض فلزات (kg)

AT: نشان‌دهنده مدت زمان قرارگیری در معرض هر مقدار فلزات (day)

SA: نشان‌دهنده مساحت ناحیه‌ای از سطح پوست قرار گرفته در معرض فلزات ( $\text{cm}^2$ )

AF: نشان‌دهنده فاکتور چسبندگی گردوغبار به پوست (mg/cm<sup>2</sup>.day).

ABF: فاکتور جذب سطحی پوست (بدون واحد) است.

در جدول ۲، جزئیات هر پارامتر و مقادیر استفاده شده در معادلات ارزیابی خطر بیان شده است (کینگ و همکاران، ۲۰۱۵ و وی<sup>۱</sup> و همکاران، ۲۰۱۵ و چابوکدهرا<sup>۲</sup> و همکاران، ۲۰۱۳).

بعد از محاسبه میزان جذب روزانه فلزات، خطر غیر سلطان‌زایی (HI) برای کودکان و بزرگسالان از رابطه (۷) تعیین شد.

$$HQ = \frac{\text{Intake}}{\text{RfDi}} \quad (7)$$

در معادله HQ برای محاسبه خطر غیر سلطان‌زایی فلزات در هر مسیر، مقدار جذب روزانه فلزات در هر یک از مسیرهای قرارگیری در معرض فلزات (به واحد میلی‌گرم بر کیلوگرم بدن در روز) استفاده می‌شود. اگر مقدار HQ برابر و یا بزرگ‌تر از ۱ باشد، با سلامت انسان ناسازگاری وجود دارد و اگر کوچک‌تر از ۱ باشد، اثرات نامطلوب و نگران‌کننده‌ای بر سلامت انسان دارد. مقدار شاخص خطر تجمعی غیر سلطان‌زایی (HI) فلزات برای هر دو گروه بزرگ سال و کودکان طبق معادله ۸ به دست می‌آید (روانخواه<sup>۳</sup> و همکاران، ۲۰۱۶).

معادله HQ، برای محاسبه خطر غیر سلطان‌زایی فلزات، مقدار جذب روزانه فلزات در معرض (mg/kg.day) را درنظر می‌گیرد. مقدار HQ برابر و یا بزرگ‌تر از ۱ نشان‌دهنده ناسازگاری با سلامت انسان و مقدار کوچک‌تر از ۱، اثرات

<sup>1</sup> Wei

<sup>2</sup> Chabukdhara

<sup>3</sup> Ravankhah

نامطلوب و نگران‌کننده‌ای دارد. مقدار شاخص خطر تجمعی غیر سرطان‌زا (HI) فلزات برای هر دو گروه بزرگسال و کودکان طبق معادله ۸ به دست می‌آید.

$$HI = \sum QH_i \quad (8)$$

شاخص خطر سرطان‌زا (Cancer Risk, CR) برای عناصر سرب، کروم و آرسنیک بر اساس دستورالعمل‌های پیشنهادی اداره حفاظت از محیط‌زیست آمریکا (EPA) محاسبه می‌شود. این شاخص نشان‌دهنده میزان خطر ابتلا به سرطان برای افرادی است که با این عناصر در محیط کار یا زندگی خود در ارتباط هستند. برای محاسبه شاخص خطر سرطان‌زا سرب، کروم و آرسنیک از رابطه ۹ و ۱۰ می‌توان محاسبه کرد.

$$CR = Intake \times CSF \quad (9)$$

$$TCR = \sum CR = CR_{ing} + CR_{inh} + CR_{dermal} \quad (10)$$

که در آن CR: خطرپذیری بیماری سرطانی (بدون واحد)، TCR: خطر کل سرطانی (بدون سرطان) و CSF فاکتور شب سرطانی فلزات سنگین ( $mg\ kg^{-1}\ day^{-1}$ ) است. اگر مقدار خطر کل سرطانی کمتر از  $10^{-4}$  باشد، این به معنای این است که احتمال سرطان برای یک نفر از هر یک‌میلیون نفر کمتر از یک است و اثرات قابل توجهی بر روی سلامت انسان ندارد. در چنین حالتی، خطر قابل اغماض است. با این حال، اگر خطر کل سرطانی بیشتر از  $10^{-4}$  باشد، این به معنای غیرقابل قبول بودن خطر برای سلامت انسان است و مخاطره‌آمیز است. در صورتی که خطر کل سرطانی بین  $10^{-4}$  تا  $10^{-1}$  باشد، نشان‌دهنده خطرپذیری تحت شرایط کنترل و نظارت است. در این حالت، باید توجه ویژه‌ای به نظارت و کنترل داشته باشیم تا خطرات مربوط به فلزات سنگین برای سلامت انسان به حداقل رسیده و کنترل شوند (وی و همکاران، ۲۰۱۵).

جدول ۲: راهنمای پارامترهای معادلات ارزیابی خطر سرطان‌زا و غیر سرطان‌زا فلزات سنگین در گردوغبار

پارامتر	واحد اندازه‌گیری	بزرگ‌سال	کودکان
IngR	mg/day	۱۰۰	۲۰۰
InhR	m <sup>3</sup> /day	۲۰	۷/۶
EF	day/year	۳۵۰	۳۵۰
ED	year	۳۰	۶
BW	kg	۷۰	۱۵
AT	days	۱۰۹۵۰	۲۱۹۰
PEF	m <sup>3</sup> /kg	$1/36 \times 10^9$	$1/36 \times 10^9$
ESA	cm <sup>2</sup>	۵۷۰۰	۲۸۰۰
AF	mg/cm <sup>2</sup> .day	۰/۰۷	۰/۲
CSF	mg/kg.day	سرب (۴/۲ × ۱۰ <sup>-۲</sup> ), کروم (۴/۲ × ۱۰ <sup>-۱</sup> ), آرسنیک (۱۰ <sup>-۱</sup> × ۱/۵۱) و روی (۱۰ <sup>-۴</sup> × ۱۰ <sup>-۲</sup> )	سرب (۴/۲ × ۱۰ <sup>-۲</sup> ), کروم (۴/۲ × ۱۰ <sup>-۱</sup> ), آرسنیک (۱۰ <sup>-۱</sup> × ۱/۵۱) و روی (۱۰ <sup>-۴</sup> × ۱۰ <sup>-۲</sup> )
RfD <sub>ingestion</sub>	mg/kg.day	سرب (۳ × ۱۰ <sup>-۳</sup> ), کروم (۳ × ۱۰ <sup>-۴</sup> ), آرسنیک (۳ × ۱۰ <sup>-۴</sup> ), و روی (۳ × ۱۰ <sup>-۴</sup> )	سرب (۳ × ۱۰ <sup>-۳</sup> ), کروم (۳/۵۲ × ۱۰ <sup>-۴</sup> ), آرسنیک (۳/۱ × ۱۰ <sup>-۴</sup> ), و روی (۳ × ۱۰ <sup>-۳</sup> )
RfD <sub>inhalation</sub>	mg/kg.day	سرب (۵/۲۵ × ۱۰ <sup>-۴</sup> ), کروم (۵/۲۵ × ۱۰ <sup>-۴</sup> ), آرسنیک (۱/۲۳ × ۱۰ <sup>-۴</sup> ), و روی (۶ × ۱۰ <sup>-۴</sup> )	سرب (۵/۲۵ × ۱۰ <sup>-۴</sup> ), کروم (۵/۲۵ × ۱۰ <sup>-۴</sup> ), آرسنیک (۱/۲۳ × ۱۰ <sup>-۴</sup> ), و روی (۶ × ۱۰ <sup>-۴</sup> )
RfD <sub>dermal</sub>	mg/kg.day		

### یافته‌های پژوهش

خلاصه‌ای از پارامترهای آماری مربوط به غلظت فلزات سنگین در نمونه‌های گردوغبار شهر بیرجند و خاک مناطق نمونه‌برداری در جدول ۳ گزارش شده است. مقدار میانگین غلظت عناصر روی، کروم، سرب و آرسنیک به ترتیب ۵/۵۵، ۱۰/۴، ۱۶/۹۳ و ۶/۱۱ میکروگرم بر مترمکعب در گردوغبار شهر بیرجند ثبت گردید. در نمونه‌های گردوغبار شهر بیرجند، غلظت سرب و روی بیشتر از مقدار زمینه (غلظت در پوسته زمین) بوده است. این نتیجه نشان داده است که غلظت بالای این عناصر مربوط به منابع انسان‌زاد مثل ترافیک، تأسیسات صنعتی، تأسیسات تولید برق و فعالیت‌های ساخت‌وساز است (زانگ<sup>۱</sup> و همکاران، ۲۰۲۳).

#### پتانسیل ریسک اکولوژیک: (Potential ecological risk)

در این مطالعه، بررسی باستفاده از روش هاکانسون (Hakanson)، پتانسیل ریسک اکولوژیکی فلزات سنگین منطقه مورد مطالعه، محاسبه شده است (بانرجی<sup>۲</sup> و همکاران، ۲۰۲۳). در جدول ۴ مقادیر پتانسیل ریسک اکولوژیکی (ER) و شاخص ریسک (RI) ارائه شده‌اند. نتایج نشان می‌دهد که میانگین ER برای فلزات سنگین مورد مطالعه در نمونه‌های گردوغبار به صورت  $Zn < Cr < As < Pb$  کاهش می‌یابد. بر اساس مقدار میانگین ER، آرسنیک (۳/۹۵)، سرب (۶/۵۳)، روی (۱۰/۰۳) و کرم (۰/۰۰۳) دارای پتانسیل ریسک اکولوژیکی کم ( $ER < 40$ ) هستند. نتایج بدست-آمده نشان داد که مقادیر RI کرم و روی دارای ریسک کم ( $RI < 150$ )، آرسنیک دارای ریسک متوسط ( $RI = 300$ ) و سرب دارای ریسک زیاد ( $RI \geq 600$ ) هستند.

جدول ۳: خلاصه‌ای از پارامترهای آماری غلظت فلزات سنگین در منطقه مورد مطالعه

فلزات سنگین	واحد	دامنه	میانگین	میانه	زمینه
(Zn) روی	mg/kg	۱/۲۳-۶۱/۶۴	۵/۵۵	۳/۹۱	۴/۹۷
(Cr) کروم	mg/kg	۲/۵۳-۸/۷۵	۱/۰۴	۰/۳۲	۵۸/۴۳
(Pb) سرب	mg/kg	۰-۱۸۲/۳۶	۱۶/۹۳	۴/۰۶	۱۲/۹۷
(As) آرسنیک	mg/kg	۰-۳۵	۶/۱۱	۴/۲۹	۱۵/۴۷

جدول ۴: نتایج آماری ریسک اکولوژیک (Er) و شاخص ریسک (RI) فلزات سنگین در منطقه مورد مطالعه

شاخص ریسک (RI)	ریسک اکولوژیک (Er)				فلزات سنگین
	میانه	میانگین	ماکزیمم	مینیمم	
کروم	۰/۰۳	۰/۰۳	۰/۳	۰	۱/۷۸
آرسنیک	۲۲/۷۸	۳/۹۵	۲۲/۶۲	۰	۱۹۷/۶۷
سرب	۷۰/۲۹	۶/۵۳	۷۰/۲۹	۰	۳۲۶/۳
روی	۰/۰۶	۰/۰۱	۰/۰۶	۰/۰۰	۰/۲۸

فلز سنگین آرسنیک می‌تواند به عنوان عامل آلاینده مؤثر، به افزایش خطر پتانسیل ریسک اکولوژیکی در شهر بیرجند منجر شود. آرسنیک یک فلز سنگین سمی است که در طبیعت به صورت طبیعی در خاک و سنگ‌ها وجود دارد؛ اما

<sup>1</sup> Zhang  
<sup>2</sup> Banerjee

همچنین می‌تواند به صورت غیرطبیعی در نتیجه فعالیت‌های صنعتی و کشاورزی منتشر شود. معادن، ذوب‌آهن و فرآوری سنگ، آفت‌کش‌ها، کودها و صنایع شیمیایی، نیروگاه‌های حرارتی که با زغال‌سنگ یا پیت کار می‌کنند و سوزاندن ضایعات مواد نگهدارنده چوب، سالیانه مقادیر زیادی از آرسنیک را وارد محیط‌رسانی می‌کنند (خادم مقدم ایگدهلو و گلچین، ۱۳۹۸). از منابع اصلی آلودگی آرسنیک در شهر بیرون گردیده می‌توان استخراج و فرآوری معادن، فعالیت‌های کشاورزی، سوخت‌های فسیلی و آرسنیک موجود در گردوغبار همراه با بادهای ۱۲۰ روزه را نام برد (baghi و همکاران، ۱۳۹۹). موجودیت آرسنیک در گردوغبار شهری، می‌تواند از طریق تماس با پوست، باعث ورود آن به بافت‌های داخلی کودکان و بزرگ‌سالان شده و با ایجاد بیماری، آسیب جدی به سلامتی آن‌ها وارد کند (Okoro<sup>۱</sup> و همکاران، ۲۰۲۳).

#### ارزیابی خطر سرطان‌زاوی و غیرسرطان‌زاوی

در این بررسی، ارزیابی ریسک سلامت انسانی در نمونه‌های گردوغبار خیابانی، به خصوص در معرض فلزات سنگین، از سه مسیر اصلی بلع، تماس پوستی و استنشاق برای کودکان و بزرگ‌سالان انجام شد. در جدول ۵، میزان خطر غیرسرطان‌زاوی (HQ) مسیرهای سه‌گانه برای هر یک از فلزات کروم، آرسنیک، سرب و روی به تفکیک کودکان و بزرگ‌سالان آورده شده است. با توجه به نتایج، بیشترین میزان خطر غیرسرطان‌زاوی (HQ) برای بزرگ‌سالان و کودکان فلز کرم، سرب و روی به ترتیب از مسیر بلع، جذب پوستی و تنفس است. در حالی که آرسنیک بیشترین خطر را از راه جذب پوستی، تنفس و بلع برای کودکان و بزرگ‌سالان را در پی دارد. همچنین نتایج HI نشان داد که ورود فلزات بررسی شده به بدن در رده سنی کودکان نسبت به بزرگ‌سالان خطر بیشتری داشته و این خطر برای دو عنصر کروم و آرسنیک بیشترین مقدار است و کودکان بیشتر از بزرگ‌سالان در معرض خطر این فلزات سنگین قرار دارند.

جدول ۵: خطر غیر سرطان‌زاوی فلزات سنگین در شهر بیرون گردیده به تفکیک بزرگ‌سالان و کودکان

روی	سرب	آرسنیک	کروم	(mg/kg) پارامتر
کودکان				
$2/36 \times 10^{-4}$	$6/18 \times 10^{-8}$	$2/6 \times 10^{-9}$	$4/43 \times 10^{-3}$	<b>HQing</b>
$6/61 \times 10^{-9}$	$1/21 \times 10^{-12}$	$7/26 \times 10^{-6}$	$1/29 \times 10^{-15}$	<b>HQinh</b>
$3/31 \times 10^{-6}$	$1/15 \times 10^{-11}$	$1/78 \times 10^{-3}$	$6/2 \times 10^{-14}$	<b>HQderm</b>
$2/39 \times 10^{-4}$	$6/18 \times 10^{-8}$	$1/7 \times 10^{-3}$	$4/43 \times 10^{-3}$	<b>HI={HQi}</b>
$6/46 \times 10^{-3}$				<b>HI total</b>
بزرگ‌سالان				
$2/53 \times 10^{-5}$	$6/62 \times 10^{-8}$	$2/79 \times 10^{-9}$	$4/75 \times 10^{-4}$	<b>HQing</b>
$3/72 \times 10^{-9}$	$9/69 \times 10^{-13}$	$4/0.9 \times 10^{-6}$	$7/32 \times 10^{-15}$	<b>HQinh</b>
$5/0.5 \times 10^{-7}$	$1/74 \times 10^{-11}$	$2/71 \times 10^{-4}$	$9/47 \times 10^{-14}$	<b>HQderm</b>
$2/58 \times 10^{-5}$	$6/62 \times 10^{-8}$	$2/75 \times 10^{-4}$	$4/75 \times 10^{-4}$	<b>HI={HQi}</b>
$7/76 \times 10^{-4}$				<b>HI total</b>

<sup>1</sup> Okoro

در جدول ۶، نتایج ارزیابی خطر سلطان‌زایی کروم، آرسنیک و سرب برای کودکان و بزرگسالان نشان داده شده است. با توجه به نتایج، بیشترین میزان خطر سلطان‌زایی (CR) برای کودکان و بزرگسالان مربوط به فلز کروم و آرسنیک است که به ترتیب از مسیر بلع، جذب پوستی و تنفس وارد بدن می‌شوند. همچنین، نتایج TCR نشان داد که ورود کروم و آرسنیک به بدن در رده سنی کودکان نسبت به بزرگسالان خطر بیشتری داشته و بیشترین مقدار است و کودکان بیشتر از بزرگسالان در معرض خطر آن قرار دارند.

جدول ۶: خطر سلطان‌زایی فلزات سنگین در شهر بیرجند به تفکیک بزرگسالان و کودکان

پارامتر	فلز (mg/kg)	کودکان	بزرگسالان
سرب	آرسنیک	کروم	
<b>کودکان</b>			
$9/0.9 \times 10^{-6}$	$1/17 \times 10^{-4}$	$5/58 \times 10^{-4}$	<b>CRing</b>
$2/54 \times 10^{-10}$	$3/3 \times 10^{-8}$	$1/56 \times 10^{-8}$	<b>CRinh</b>
$5/15 \times 10^{-9}$	$8/1 \times 10^{-7}$	$1/86 \times 10^{-8}$	<b>CRderm</b>
$9/0.9 \times 10^{-6}$	$1/18 \times 10^{-4}$	$5/58 \times 10^{-4}$	<b>TCR</b>
	$6/8 \times 10^{-4}$		<b>CR total</b>
<b>بزرگسالان</b>			
$9/74 \times 10^{-7}$	$1/25 \times 10^{-5}$	$5/98 \times 10^{-5}$	<b>CRing</b>
$1/43 \times 10^{-10}$	$1/86 \times 10^{-8}$	$8/8 \times 10^{-9}$	<b>CRinh</b>
$7/86 \times 10^{-10}$	$1/22 \times 10^{-7}$	$2/84 \times 10^{-9}$	<b>CRderm</b>
$9/75 \times 10^{-7}$	$1/27 \times 10^{-5}$	$5/98 \times 10^{-5}$	<b>TCR</b>
	$7/35 \times 10^{-5}$		<b>CR total</b>

## نتایج و بحث

بررسی غلظت فلزات سنگین نشان داد که آرسنیک و کروم در نمونه‌های گردوغبار شهر بیرجند کمتر از مقدار زمینه (غلظت در پوسته زمین) است. نتایج نشان داد که غلظت سرب و روی در محیط شهری بیشتر از غلظت آن در محیط اطراف شهر می‌باشد که می‌توان نتیجه گرفت غلظت بالای این عناصر مربوط به منابع انسان‌زاد مانند ترافیک، تأسیسات صنعتی، تأسیسات تولید برق، بد سوزی و فعالیت‌های ساخت‌وساز و همچنین طوفان‌های گردوغباری همراه با بادهای ۱۲۰ روزه در این منطقه می‌باشد که در جهت باد غالب به داخل شهر منتقل شده‌اند (عزیزی و همکاران، ۱۳۹۹). بررسی سایر منابع نیز مشخص می‌کند که نتایج این مطالعه با سایر مطالعات مشابه همخوانی دارد. به عنوان-مثال، مطالعات دهقانی و همکاران (۲۰۱۷) در گردوغبار شهر تهران نشان داد که آلودگی ناشی از فلزات سنگین مانند مس، سرب و روی بهدلیل منابع انسان‌زاد مانند ساییدگی تایر و ترمز وسایل نقلیه، سایش جاده و احتراق سوخت‌های فسیلی می‌باشد. همچنین، مطالعات جعفری و خادمی (۱۳۹۳) در کرمان بر روی ارزیابی فلزات سنگین در گردوغبار شهری نشان دادند که منشأ اصلی فلزات سنگین مانند مس، سرب و روی در گردوغبار شهری، وسایل نقلیه است و با مطالعه پراکنش مکانی این فلزات به این نتیجه رسیدند که توپوگرافی اطراف کرمان نقش مهمی در

حضور این فلزات در گردوغبار این شهر دارد. به طور مشابه، مطالعات قنواتی (۱۳۹۷) نشان دادند که غلظت فلزات سنگین در گردوغبار شهر آبادان بیشتر از میانگین غلظت این فلزات در بخش بالایی پوسته زمین است. بر اساس میانگین مقادیر RI، فلزات سنگین کروم و روی دارای پتانسیل ریسک اکولوژیکی کم هستند و آرسنیک دارای ریسک متوسط و سرب دارای پتانسیل ریسک اکولوژیکی زیاد است. با توجه به غلظت پایین مقدار سرب در نمونه‌های زمینه، می‌توان نتیجه گرفت بخش اعظم سرب موجود در گردوغبار شهر بیرجند از سایر مناطق منتقل شده‌اند. مطالعات دیاز ریزو<sup>۱</sup> و همکاران (۲۰۲۳) در شهر هاوانا در مورد فلزات سنگین در گردوغبار شهری نشان دادند که غلظت بالای فلز سرب و روی در نواحی نزدیک جاده‌ها و مناطق شهری، ناشی از وسائل نقلیه بوده و دارای ریسک اکولوژیکی متوسط هستند. زونگ<sup>۲</sup> و همکاران (۲۰۲۳)، به بررسی خطرات ناشی از فلزات سنگین در گردوغبار جاده‌ها برای سلامتی انسان و ایمنی محیط‌زیست پرداختند. نتایج نشان داد که فلزات سنگینی مانند کادمیوم، مس، روی و سرب با خطرات بالایی برای سلامتی انسان و محیط‌زیست همراه هستند و بیان نمودند که نتایج ارزیابی ریسک سلامت برای انسان و محیط‌زیست می‌تواند پیامد علمی‌تری برای مدیریت شهرهای ارائه دهد.

با توجه به ارزیابی خطر سلطان‌زایی و غیر سلطان‌زایی، نتایج نشان داد که بیشترین و کمترین میزان HQ برای کلیه فلزات سنگین و در هر دو گروه سنی کودکان و بزرگسالان به ترتیب در مسیر بلع بیشتر از جذب پوستی و تنفس مشاهده شد. با توجه به ارزیابی خطر غیرسلطان‌زایی، فلزات سنگین دارای میزان خطر متفاوتی هستند و در شهر بیرجند بدون ریسک (کمتر از  $1 \times 10^{-1}$ ) می‌باشند. نتایج خطر غیرسلطان‌زایی (HI) نشان داد که ورود فلزات بررسی-شده به بدن در رده سنی کودکان نسبت به بزرگسالان خطر بیشتری داشته و این خطر برای دو عنصر کروم ( $3 \times 10^{-4}$ ) و آرسنیک ( $4 \times 10^{-4}$ ) بیشتر از سرب است و کودکان بیشتر در معرض خطر این فلزات سنگین قرار دارند. با توجه به ارزیابی خطر سلطان‌زایی، فلزات سنگین دارای میزان خطر متفاوتی هستند. در هر دو گروه سنی، کروم و آرسنیک دارای بیشترین خطر سلطان‌زایی و سرب دارای کمترین خطر می‌باشد. مقادیر CR در کودکان بیشتر از بزرگسالان است. میزان CR در کودکان برای کروم ( $10^{-5} \times 58$ )، آرسنیک ( $10^{-5} \times 98$ ) و سرب در کودکان ( $10^{-4} \times 90$ ) و بزرگسالان به ترتیب ( $10^{-4} \times 18$ ) و ( $10^{-5} \times 27$ ) بوده که بیشتر از  $10^{-4}$  (احتمال سلطان یک نفر در میلیون) می‌باشد و نشان می‌دهد خطر پذیری تحت شرایط کنترل و نظارت در این زمینه وجود دارد؛ اما CR و بزرگسالان ( $10^{-4} \times 75$ ) کمتر از  $10^{-4}$  است که نشان می‌دهد ریسک سلطان ناشی از این فلز در گردوغبار برای بزرگسالان می‌تواند نادیده گرفته شود. این مهم با نتایج روانخواه و همکاران (۲۰۱۶) و کبیر و همکاران (۲۰۲۲) مطابقت دارد. آرسنیک عاملی است که باعث جهش می‌شود و بر ساختار ژنتیکی انسان تأثیر می‌گذارد. همچنین خطر ابتلا به سلطان در اندام‌های متعدد از جمله پوست، کلیه، ریه و مثانه را افزایش می‌دهد (همزا<sup>۳</sup> و همکاران، ۲۰۲۲).

نتایج مطالعات پانجینگ<sup>۴</sup> و همکاران (۲۰۲۳) و سیرلی<sup>۵</sup> و همکاران (۲۰۲۲) نشان می‌دهد که بیشترین و کمترین میزان HQ برای کلیه فلزات سنگین، به ترتیب در مسیر بلع بیشتر از جذب پوستی و تنفس مشاهده شده است.

<sup>1</sup> Díaz Rizo

<sup>2</sup> Zong

<sup>3</sup> Hamza

<sup>4</sup> Panqing

<sup>5</sup> Cirelli

همچنین، میزان HQ در مسیر بلوغ و تنفس برای کودکان بیشتر از بزرگسالان بوده و در مسیر جذب پوستی برای بزرگسالان بیشتر از کودکان مشاهده می‌شود. خطر تجمعی غیر سلطان‌زایی کلیه فلزات سنگین در گردوغبار خیابانی برای کودکان بیشتر از بزرگسالان است که این امر نشان داد کودکان بیشتر از بزرگسالان در معرض خطر فلزات سنگین قرار دارند. در هر دو گروه سنی، فلز کروم دارای بیشترین خطر سلطان‌زایی و فلز سرب کمترین خطر را دارد (قنواتی، ۱۳۹۷).

### نتیجه‌گیری

باتوجه به افزایش میزان ذرات معلق در بسیاری از شهرهای کشور، ازجمله شهر بیرونی و اثرات آن‌ها بر عوامل مختلف محیط زیست، لازم است تدبیری اتخاذ شود تا اثرات ذرات معلق بر اجزاء مختلف محیط زیست کاهش یابد و به نتیجه‌گیری مشمرثمر برسد. در این مطالعه، غلظت فلزات سنگین در نمونه‌های گردوغبار شهر بیرونی مورد بررسی قرار گرفته است. به منظور ارزیابی ریسک سلامت انسانی فلزات سنگین کروم، آرسنیک، روی و سرب در این بررسی مورد توجه قرار گرفته‌اند. غلظت سرب و روی در نمونه‌های گردوغبار شهر بیرونی در مقایسه با مقدار زمینه بیشتر است که احتمالاً ناشی از فعالیت انسانی و طوفان‌های گردوغبار با منشأ دور است. با این حال، این پژوهش نشان می‌دهد که منبع اصلی انتشار فلزات سنگین در گردوغبار شهر بیرونی، بیشتر به‌دلیل فعالیت‌های صنعتی و ترافیک شهری، احتراق سوخت‌های فسیلی و همچنین پادهای ۱۲۰ روزه در این منطقه است. به عبارت دیگر، طوفان‌های گردوغبار در شهر بیرونی می‌توانند باعث افزایش غلظت فلزات سنگین در گردوغبار شوند؛ اما منشأ اصلی این آلودگی با فعالیت‌های انسانی مرتبط است. باتوجه به نتایج ارزیابی خطر سلطان‌زایی و غیرسلطان‌زایی فلزات سنگین در گردوغبار خیابانی شهر بیرونی، مشخص شد که فلزات سنگین دارای میزان خطر متفاوتی هستند و کودکان بیشتر در معرض خطر این فلزات قرار دارند. در هر دو گروه سنی، کروم و آرسنیک دارای بیشترین خطر سلطان‌زایی و سرب دارای کمترین خطر می‌باشد. همچنین، فلزات سنگین در گردوغبار شهر بیرونی دارای خطر غیرسلطان‌زایی هم هستند. بررسی‌ها نشان داد که ورود فلزات بررسی‌شده به بدن در رده سنی کودکان نسبت به بزرگسالان خطر بیشتری داشته و این خطر برای دو عنصر کروم و آرسنیک بیشتر از سرب است. با این حال، لازم به یادآوری است که این مطالعه دارای محدودیت‌هایی است و برای تحلیل دقیق‌تر باید خصوصیت‌های فیزیکی، شیمیایی و کانی‌شناسی گردوغبار، توزیع مکانی فلزات سنگین و فاکتورهای اقلیمی نیز اندازه‌گیری شوند. باتوجه به اینکه طوفان‌های گردوغبار می‌توانند بار فلزات سنگین را از منابع مختلف به هوا برد و به مناطق دیگر منتقل کنند، بررسی تأثیرات آن‌ها بر روی غلظت فلزات سنگین در مناطق دیگر نیز ضروری است. برای کاهش اثرات آلاینده‌های هوایی، باید اقداماتی برای کاهش ترافیک شهری و استفاده از سوخت‌های دوستدار محیط طبیعی مورد توجه قرار گیرند و همچنین در خصوص کانون‌های برداشت فرسایش بادی در مسیر باد غالب منطقه مطالعات بیشتر صورت گرفته و در صورت لزوم به اقدامات و عملیات کنترلی پرداخته شود.

## تقدیر و تشکر

بدین وسیله از حمایت مالی دانشگاه زابل به شماره گرفت IR-UOZ0088 در انجام این پژوهش کمال تشکر و قدردانی را داریم.

## منابع

- احمدی، زهرا؛ دوستان، رضا؛ مفیدی، عباس. (۱۳۹۵). تحلیل همدیدی گردوغبار نیمه‌گرم سال در استان خراسان جنوبی، جغرافیای طبیعی، دوره ۸، شماره ۲۹، صص: ۴۱-۶۲.
- اماونی، حجت؛ معمارزاده، مهسا. (۱۴۰۱). پایش زمانی رسوبات بادی و بعضی از عناصر سنگین در رسوبات معلق شهرستان طبس، مجله آب و خاک، صص: ۱-۲۵. doi: 10.22067/jsw.2023.78876.1204
- باغی، مليحه؛ راشکی، علیرضا؛ محمودی قرایی، محمدحسین. (۱۳۹۹). بررسی خصوصیات شیمیایی و کانی‌شناسی گردوغبار ورودی به شمال شرق ایران و پتانسیل بیماری‌زایی آن، جغرافیا و مخاطرات محیطی، دوره ۳۳، صص: ۱۳۹-۱۵۳.
- بهروش، فرزانه؛ محمودی قرایی، محمدحسین؛ قاسم‌زاده، فرشته؛ عوض‌قدم، سیما. (۱۳۹۴). بررسی آلودگی فلزات سنگین در غبارهای ترافیکی شهر مشهد و تعیین منشأ آن باستفاده از روش استخراج تربیبی، فصلنامه علمی علوم زمین (زمین‌شناسی مهندسی و محیط زیست، دوره ۲۴، شماره ۹۵، صص: ۱۴۱-۱۵۰).
- جعفری، فریبا؛ خادمی، حسین. (۱۳۹۳). توزیع زمانی و مکانی فلزات سنگین در گردوغبار منطقه شهری کرمان، محیط‌شناسی، دوره ۴۰، شماره ۲، صص: ۳۶۱-۳۷۶.
- خادم مقدم ایگده لو، نادر؛ گلچین، احمد. (۱۳۹۸). ارزیابی خطر آلودگی منابع آب و خاک کشور به آرسنیک، مجله تحقیقات آب و خاک ایران، شماره ۵، دوره ۷، صص: ۱۶۱۲-۱۶۲۷.
- راستمنش، فاطمه؛ زراسوندی، علیرضا؛ طولابی، معصومه. (۱۴۰۱). بررسی غنی‌شدگی سمناکی و خطر بوم‌شناختی فلزات سنگین در رسوبات سطحی رودخانه بهمنشیر آبادان، علوم و مهندسی آبیاری، دوره ۴۰، شماره ۱، صص: ۱۲۳-۱۳۷.
- زراسوندی، علیرضا؛ راستمنش، فاطمه؛ مرادپور، راضیه. (۱۳۹۳). بررسی غلظت فلزات سنگین و سطح آلودگی آن‌ها در گردوغبار خیابان، شهر اهواز، هفتمین همایش ملی و نمایشگاه تخصصی مهندسی محیط زیست، تهران. <https://civilica.com/doc/318962>
- عزیزی، قاسم؛ خوش اخلاق، فرامرز؛ نگاه، سمانه؛ فرید مقتهدی، نیما. (۱۳۹۹). واکاوی الگوی بادهای غالب فصل گرم در دشت‌های ایران مرکزی، هواشناسی و علوم جو، دوره ۳، شماره ۱، صص: ۴۵-۶۲.
- قنواتی، نوید. (۱۳۹۷). ارزیابی خطر فلزات سنگین بر سلامت انسانی در گردوغبار خیابانی شهر آبادان، فصلنامه سلامت و محیط‌زیست، شماره ۱۱، دوره ۱، صص: ۶۳-۷۴.
- موسی، حوریه سادات؛ پورخبار، علیرضا. (۱۳۹۶). منشایابی ذرات گردوغبار با بررسی خصوصیات فیزیکی و شیمیایی آن‌ها در شهرستان بیرون‌جند، فصلنامه زمین‌شناسی محیط زیست، دوره ۱۱، شماره ۳۸، صص: ۱-۹.
- Bai, B., Bai, F., Sun, C., Nie, Q., & Sun, S. (2023); Adsorption mechanism of shell powders on heavy metal ions Pb<sup>2+</sup>/Cd<sup>2+</sup> and the purification efficiency for contaminated soils. *Frontiers in Earth Science*, 10, p.1071228.
- Banerjee, S., Ghosh, S., Jha, S., Kumar, S., Mondal, G., Sarkar, D., Datta, R., Mukherjee, A., Bhattacharyya, P. (2023); Assessing pollution and health risks from chromite mine tailings contaminated soils in India by employing synergistic statistical approaches. *Science of The Total Environment*, 880, p.163228.
- Bist, P., and Choudhary, S., (2022); Impact of heavy metal toxicity on the gut microbiota and its relationship with metabolites and future probiotics strategy: a review. *Biological Trace Element Research*, 200(12), pp.5328-5350.
- Budi, H.S., Catalan Opulencia, M.J., Afra, A., Abdelbasset, W.K., Abdullaev, D., Majdi, A., Taherian, M., Ekrami, H.A., Mohammadi, M.J. (2022); Source, toxicity and carcinogenic health risk assessment of heavy metals. *Reviews on Environmental Health*, (0).
- Chabukdhara, M., and Nema, A.K. (2013); Heavy metals assessment in urban soil around industrial clusters in Ghaziabad, India: probabilistic health risk approach. *Ecotoxicology and environmental safety*, 87, pp.57-64.

- Cirelli, P., Bilo, F., Tsuji, K., Matsuyama, T., Siviero, G., Pisani, L., Zacco, A., Depero, L.E., Eichert, D., Borgese, L., (2022); Assessment of calibration methods for Pb-loaded aerosol filters analyzed with X-ray fluorescence under grazing incidence. *Spectrochimica Acta Part B: Atomic Spectroscopy*, 192, p.106414.
- Dehghani, S., Moore, F., Keshavarzi, B., Beverley, A.H, (2017); Health risk implications of potentially toxic metals in street dust and surface soil of Tehran, Iran. *Ecotoxicology and environmental safety*, 136, pp.92-103.
- Díaz Rizo, O., Casanova Díaz, A.O., Torres Ramos, A.G., Ramos López, D., (2023); Heavy metals concentration, pollution indexes, and health risk assessment of urban road dust in the historical center of Havana, Cuba. *Environmental Monitoring and Assessment*, 195(2), p.349.
- Ebrahimi, A., Ahmadizadeh, S.R., Rashki, A. R, (2022); Variation of PM10 and its relationship with Dust and Climate in Birjand, Iran. *Desert*, 27(1), pp.97-114.
- Hamza, M., Alam, S., Rizwan, M., Naz, A., (2022); Health Risks Associated with Arsenic Contamination and Its Biotransformation Mechanisms in Environment: A Review. *Hazardous Environmental Micro-pollutants, Health Impacts and Allied Treatment Technologies*, pp.241-288.
- Han, Q., Wang, M., Xu, X., Li, M., Liu, Y., Zhang, C., Li, S., Wang, M, (2023); Health risk assessment of heavy metals in road dust from the fourth-tier industrial city in central China based on Monte Carlo simulation and bioaccessibility. *Ecotoxicology and Environmental Safety*, 252, p.114627.
- Kabir, M.H., Kormoker, T., Shammi, R.S., Tusher, T.R., Islam, M.S., Khan, R., Omor, M.Z.U., Sarker, M.E., Yeasmin, M., Idris, A.M, (2022); A comprehensive assessment of heavy metal contamination in road dust along a hectic national highway of Bangladesh: Spatial distribution, sources of contamination, ecological and human health risks. *Toxin Reviews*, 41(3), pp.860-879.
- Lafta, M.H., Afra, A., Patra, I., Jalil, A.T., Mohammadi, M.J., Baqir Al-Dhalimy, A.M., Ziyadullaev, S., Kiani, F., Ekrami, H.A., Asban, P, (2022); Toxic effects due to exposure heavy metals and increased health risk assessment (leukemia). *Reviews on Environmental Health*, (0).
- Leung, A.O., Duzgoren-Aydin, N.S., Cheung, K.C., Wong, M.H, (2008); Heavy metals concentrations of surface dust from e-waste recycling and its human health implications in southeast China. *Environmental science & technology*, 42(7), pp.2674-2680.
- Liu, X.X., Hu, X., Cao, Y., Pang, W.J., Huang, J.Y., Guo, P., Huang, L., (2019); Biodegradation of phenanthrene and heavy metal removal by acid-tolerant Burkholderia fungorum FM-2. *Frontiers in microbiology*, 10, p.408.
- Macias-Corral, M.A., Esquivel-Arriaga, G., Sanchez-Cohen, I, (2020); Potential of wind erosion and dust emission in an arid zone of northern Mexico: A simple assessment method. *Revista Brasileira de Ciência do Solo*, 44.
- Miao, F., Zhang, Y., Li, Y., Fang, Q., Zhou, Y, (2022); Implementation of an integrated health risk assessment coupled with spatial interpolation and source contribution: A case study of soil heavy metals from an abandoned industrial area in Suzhou, China. *Stochastic Environmental Research and Risk Assessment*, pp.1-15.
- Okoro, C.O., Osuji, J.O., Ochekwu, E.B, (2023); Effect of crude oil pollution on heavy metal content and GST gene expression of *Mucuna pruriens*.
- Panqing, Y., Abliz, A., Xiaoli, S., Aisaïduli, H., (2023); Human health-risk assessment of heavy metal-contaminated soil based on Monte Carlo simulation. *Scientific Reports*, 13(1), p.7033.
- Qing X., Yutong Z., Shenggao L, (2015); Assessment of heavy metal pollution and human health risk in urban soils of steel industrial city (Anshan), Liaoning, Northeast China. *Ecotoxicology and Environmental Safety*. 120:377-85.
- Rahman, M.S., Kumar, P., Ullah, M., Jolly, Y.N., Akhter, S., Kabir, J., Begum, B.A., Salam, A, (2021); Elemental analysis in surface soil and dust of roadside academic institutions in Dhaka city, Bangladesh and their impact on human health. *Environmental Chemistry and Ecotoxicology*, 3, pp.197-208.
- Rahmat, M.A., Ismail, A.F., Rodzi, N.D., Aziman, E.S., Idris, W.M.R., Lihan, T, (2022); Assessment of natural radionuclides and heavy metals contamination to the environment: Case study of Malaysian unregulated tin-tailing processing industry. *Nuclear Engineering and Technology*, 54(6), pp.2230-2243.
- Ravankhah, N., Mirzaei, R., Masoum, S., (2016); Human health risk assessment of heavy metals in surface soil. *Journal of Mazandaran University of Medical Sciences*, 26(136), pp.109-120.
- Wang, X., Qin, Y., Qin, J., Yang, Y., Qi, T., Chen, R., Tan, J., Xiao, K, (2021); The interaction laws of atmospheric heavy metal ions and water-soluble organic compounds in PM2. 5 based on the excitation-emission matrix fluorescence spectroscopy. *Journal of Hazardous Materials*, 402, p.123497.
- Wei, X., Gao, B., Wang, P., Zhou, H., Lu, J, (2015); Pollution characteristics and health risk assessment of heavy metals in street dust from different functional areas in Beijing, China. *Ecotoxicology and environmental safety*, 112, pp.186-192.
- Yarmoradi, Z., Nasiri, B., Mohammadi, G.H., Karampour, M., (2020); Long-term characteristics of the observed dusty days and its relationship with climatic parameters in East Iran. *Arabian Journal of Geosciences*, 13(6), p.242.
- Zhang, J., Ge, W., Xing, C., Liu, Y., Shen, X., Zhao, B., Chen, X., Xu, Y., Zhou, S, (2023); Ecological risk assessment of potentially toxic elements in selenium-rich soil with different land-use types. *Environmental Geochemistry and Health*, pp.1-19.
- Zong, Y., Xiao, Q., Malik, Z., Lu, S, (2023); Exploring environmental pollution and Risk Assessment of Heavy Metals in Road Dusts from a Typical Steel-Industrial City (Anshan), Northeastern China. *Water, Air, & Soil Pollution*, 234(1), p.34.

## References

### References (in Persian)

- Ahmadi, Zahra, Dostan, Reza, Mofidi, Abbas (2015); Synoptic analysis of semi-warm year dust in South Khorasan province. natural geography, 8(29): 41-62.
- Azizi, Qasim, Khosh-e-Kahlaq, Faramarz, Nagha, Samaneh. Farid Mojtabaei, Nima (2019); Analyzing the pattern of prevailing winds in the warm season in the plains of central Iran. Meteorology and Atmospheric Sciences, 3(1): 45-62. [In Persian]
- Baghi, Maleeha, Rashki, Alireza R., Mahmoudi Qaraei, Mohammad Hossein (2019); Investigation of Chemical and Mineralogical Properties of Dust Entering Northeastern Iran and its Pathogenic Potential. Geography and environmental hazards, 33:139-153. [In Persian]
- Behrosh, Farzaneh, Mahmoudi Qaraei, Mohammad Hossein, Qasimzadeh, Fereshte, Awadmoghadam, Sima (2014); Investigating heavy metal contamination in traffic dust of Mashhad city and determining its origin using sequential extraction method. Scientific Quarterly of Earth Sciences (Engineering Geology and Environment), 24(95): 141-150. [In Persian]
- Emami, Hojjat, Memarzadeh, Mahsa, (1401); Spatial Monitoring of Wind Erosion and Some Heavy Metals in Suspended Load of Tabas City. Water and soil. doi: 10.22067/jsw.2023.78876.1204. [In Persian]
- Ghanavati, Navid (2017); Assessment of the risk of heavy metals on human health in the street dust of Abadan city, Health and Environment Quarterly, 11(1): 63-74. [In Persian]
- Jafari, Fariba, Khademi, Hossein (2013); Temporal and spatial distribution of heavy metals in the dust of urban area of Kerman. Ecology. 40(2): 361-376. [In Persian]
- Khadim Moghadam, Igde Lo, Nader, Golchin, Ahmed (2018); Assessing the risk of arsenic contamination of the country's water and soil resources. Journal of water and soil research in Iran. 5(7): 1612-1617. [In Persian]
- Mousavi, Horiya. Sadat, Pourkhbaz, Alireza (2016); Origin of dust particles by examining their physical and chemical properties in Birjand city. Environmental Geology Quarterly, 11(38): 1-9. [In Persian]
- Rast Menesh, Fatemeh, Zarasundi, Alireza, Tulabi, Masoumeh (1401); Investigation of enrichment, toxicity, and ecological risk of heavy metals in Bahmanshir River surface. Irrigation science and engineering. 40(1): 123-137. [In Persian]
- Zarasundi, Alireza, Rast Menesh, Fatemeh, Muradpour, Razieh (2013); Investigating the concentration of heavy metals and their pollution levels in the street dust, Ahvaz city. The 7th national conference and specialized exhibition of environmental engineering. Tehran. [In Persian]

### References (in English)

- Bai, B., Bai, F., Sun, C., Nie, Q.,& Sun, S, (2023); Adsorption mechanism of shell powders on heavy metal ions Pb<sup>2+</sup>/Cd<sup>2+</sup> and the purification efficiency for contaminated soils. Frontiers in Earth Science, 10, p.1071228.
- Banerjee, S., Ghosh, S., Jha, S., Kumar, S., Mondal, G., Sarkar, D., Datta, R., Mukherjee, A., Bhattacharyya, P. (2023); Assessing pollution and health risks from chromite mine tailings contaminated soils in India by employing synergistic statistical approaches. Science of The Total Environment, 880, p.163228.
- Bist, P., and Choudhary, S., (2022); Impact of heavy metal toxicity on the gut microbiota and its relationship with metabolites and future probiotics strategy: a review. Biological Trace Element Research, 200(12), pp.5328-5350.
- Budi, H.S., Catalan Opulencia, M.J., Afra, A., Abdelbasset, W.K., Abdullaev, D., Majdi, A., Taherian, M., Ekrami, H.A., Mohammadi, M.J, (2022); Source, toxicity and carcinogenic health risk assessment of heavy metals. Reviews on Environmental Health, (0).
- Chabukdhara, M., and Nema, A.K, (2013); Heavy metals assessment in urban soil around industrial clusters in Ghaziabad, India: probabilistic health risk approach. Ecotoxicology and environmental safety, 87, pp.57-64.
- Cirelli, P., Bilo, F., Tsuji, K., Matsuyama, T., Siviero, G., Pisani, L., Zacco, A., Depero, L.E., Eichert, D., Borgese, L, (2022); Assessment of calibration methods for Pb-loaded aerosol filters analyzed with X-ray fluorescence under grazing incidence. Spectrochimica Acta Part B: Atomic Spectroscopy, 192, p.106414.
- Dehghani, S., Moore, F., Keshavarzi, B., Beverley, A.H, (2017); Health risk implications of potentially toxic metals in street dust and surface soil of Tehran, Iran. Ecotoxicology and environmental safety, 136, pp.92-103.
- Díaz Rizo, O., Casanova Díaz, A.O., Torres Ramos, A.G., Ramos López, D, (2023); Heavy metals concentration, pollution indexes, and health risk assessment of urban road dust in the historical center of Havana, Cuba. Environmental Monitoring and Assessment, 195(2), p.349.
- Ebrahimi, A., Ahmadizadeh, S.R, Rashki, A. R, (2022); Variation of PM10 and its relationship with Dust and Climate in Birjand, Iran. Desert, 27(1), pp.97-114.
- Hamza, M., Alam, S., Rizwan, M., Naz, A., (2022); Health Risks Associated with Arsenic Contamination and Its Biotransformation Mechanisms in Environment: A Review. Hazardous Environmental Micro-pollutants, Health Impacts and Allied Treatment Technologies, pp.241-288.

- Han, Q., Wang, M., Xu, X., Li, M., Liu, Y., Zhang, C., Li, S., Wang, M, (2023); Health risk assessment of heavy metals in road dust from the fourth-tier industrial city in central China based on Monte Carlo simulation and bioaccessibility. *Ecotoxicology and Environmental Safety*, 252, p.114627.
- Kabir, M.H., Kormoker, T., Shammi, R.S., Tusher, T.R., Islam, M.S., Khan, R., Omor, M.Z.U., Sarker, M.E., Yeasmin, M., Idris, A.M, (2022); A comprehensive assessment of heavy metal contamination in road dust along a hectic national highway of Bangladesh: Spatial distribution, sources of contamination, ecological and human health risks. *Toxin Reviews*, 41(3), pp.860-879.
- Lafta, M.H., Afra, A., Patra, I., Jalil, A.T., Mohammadi, M.J., Baqir Al-Dhalimy, A.M., Ziyadullaev, S., Kiani, F., Ekrami, H.A., Asban, P, (2022); Toxic effects due to exposure heavy metals and increased health risk assessment (leukemia). *Reviews on Environmental Health*, (0).
- Leung, A.O., Duzgoren-Aydin, N.S., Cheung, K.C., Wong, M.H, (2008); Heavy metals concentrations of surface dust from e-waste recycling and its human health implications in southeast China. *Environmental science & technology*, 42(7), pp.2674-2680.
- Liu, X.X., Hu, X., Cao, Y., Pang, W.J., Huang, J.Y., Guo, P., Huang, L., (2019); Biodegradation of phenanthrene and heavy metal removal by acid-tolerant Burkholderia fungorum FM-2. *Frontiers in microbiology*, 10, p.408.
- Macias-Corral, M.A., Esquivel-Arriaga, G., Sanchez-Cohen, I, (2020); Potential of wind erosion and dust emission in an arid zone of northern Mexico: A simple assessment method. *Revista Brasileira de Ciência do Solo*, 44.
- Miao, F., Zhang, Y., Li, Y., Fang, Q., Zhou, Y, (2022); Implementation of an integrated health risk assessment coupled with spatial interpolation and source contribution: A case study of soil heavy metals from an abandoned industrial area in Suzhou, China. *Stochastic Environmental Research and Risk Assessment*, pp.1-15.
- Okoro, C.O., Osuji, J.O., Ochekwu, E.B, (2023); Effect of crude oil pollution on heavy metal content and GST gene expression of Mucuna pruriens.
- Panqing, Y., Abliz, A., Xiaoli, S., Aisaiduli, H., (2023); Human health-risk assessment of heavy metal-contaminated soil based on Monte Carlo simulation. *Scientific Reports*, 13(1), p.7033.
- Qing X., Yutong Z., Shenggao L, (2015); Assessment of heavy metal pollution and human health risk in urban soils of steel industrial city (Anshan), Liaoning, Northeast China. *Ecotoxicology and Environmental Safety*. 120:377-85.
- Rahman, M.S., Kumar, P., Ullah, M., Jolly, Y.N., Akhter, S., Kabir, J., Begum, B.A., Salam, A, (2021); Elemental analysis in surface soil and dust of roadside academic institutions in Dhaka city, Bangladesh and their impact on human health. *Environmental Chemistry and Ecotoxicology*, 3, pp.197-208.
- Rahmat, M.A., Ismail, A.F., Rodzi, N.D., Aziman, E.S., Idris, W.M.R., Lihan, T, (2022); Assessment of natural radionuclides and heavy metals contamination to the environment: Case study of Malaysian unregulated tin-tailing processing industry. *Nuclear Engineering and Technology*, 54(6), pp.2230-2243.
- Ravankhah, N., Mirzaei, R., Masoum, S., (2016); Human health risk assessment of heavy metals in surface soil. *Journal of Mazandaran University of Medical Sciences*, 26(136), pp.109-120.
- Wang, X., Qin, Y., Qin, J., Yang, Y., Qi, T., Chen, R., Tan, J., Xiao, K, (2021); The interaction laws of atmospheric heavy metal ions and water-soluble organic compounds in PM2. 5 based on the excitation-emission matrix fluorescence spectroscopy. *Journal of Hazardous Materials*, 402, p.123497.
- Wei, X., Gao, B., Wang, P., Zhou, H., Lu, J, (2015); Pollution characteristics and health risk assessment of heavy metals in street dust from different functional areas in Beijing, China. *Ecotoxicology and environmental safety*, 112, pp.186-192.
- Yarmoradi, Z., Nasiri, B., Mohammadi, G.H., Karampour, M., (2020); Long-term characteristics of the observed dusty days and its relationship with climatic parameters in East Iran. *Arabian Journal of Geosciences*, 13(6), p.242.
- Zhang, J., Ge, W., Xing, C., Liu, Y., Shen, X., Zhao, B., Chen, X., Xu, Y., Zhou, S, (2023); Ecological risk assessment of potentially toxic elements in selenium-rich soil with different land-use types. *Environmental Geochemistry and Health*, pp.1-19.
- Zong, Y., Xiao, Q., Malik, Z., Lu, S, (2023); Exploring environmental pollution and Risk Assessment of Heavy Metals in Road Dusts from a Typical Steel-Industrial City (Anshan), Northeastern China. *Water, Air, & Soil Pollution*, 234(1), p.34.